

# การเผาไหม้ชีวมวลในเตาเผาฟลูอิดไดซ์เบด

สุวิทย์ เตีย<sup>1</sup>

กัதุณ พุกอมรพันธ์<sup>2</sup> พรเทพ จิตวุฒิไกร<sup>2</sup> แสง แซ่เล้า<sup>2</sup>

และ ทนงค์ ฉายาวัฒนะ<sup>3</sup>

มหาวิทยาลัยเทคโนโลยีพระจอมเกล้าธนบุรี

## บทคัดย่อ

โครงการนี้ได้นำเอาเตาเผาฟลูอิดไดซ์เบดมาประยุกต์ใช้เผาเชื้อเพลิงชีวมวลประเภท กากมันสำปะหลัง, เปลือกถั่วถั่วสิส และฟางข้าว เพื่อศึกษาผลของอัตราส่วนอากาศต่อเชื้อเพลิง ที่มีต่อการเผาไหม้ การทดลองนี้ทำโดยเปลี่ยนอัตราการป้อนอากาศ ที่อัตราการป้อนเชื้อเพลิงคงที่เท่ากับ 15 กิโลกรัมต่อชั่วโมง

จากผลการทดลองพบว่า ค่าอัตราส่วนอากาศต่อเชื้อเพลิงที่ทำให้ประสิทธิภาพการเผาไหม้ สูงสุดของกากมันสำปะหลัง, เปลือกถั่วถั่วสิส และฟางข้าว มีค่าเท่ากับ 7.25, 6.0 และ 7.15 ตามลำดับ จะได้ค่าประสิทธิภาพการเผาไหม้เท่ากับ 99.71%, 99.07% และ 97.92% ตามลำดับ และพบว่า อุณหภูมิเหนือเบดสูงกว่าอุณหภูมิในเบด เป็นเพราะชีวมวลที่ใช้มีปริมาณสารระเหยสูง ส่วนปริมาณ ก๊าซพิษได้แก่ ก๊าซคาร์บอนมอนอกไซด์เฉลี่ยอยู่ในช่วง 290-340 ppm ส่วนสารประกอบออกไซเดอร์ของไนโตรเจน ( $\text{NO}_x$ ) จะมีน้อยมากประมาณ 120-200 ppm

<sup>1</sup> รองศาสตราจารย์ ภาควิชาวิศวกรรมเคมี

<sup>2</sup> นักศึกษา ภาควิชาวิศวกรรมเคมี

<sup>3</sup> วิศวกร สถาบันพัฒนาและฝึกอบรมในงานด้านแบบ

## Combustion of Biomass in fluidized-bed Furnace

Suvit Tia<sup>1</sup>

Pathavud Prukamornpan<sup>2</sup> Pornteap Jitvoothikai<sup>2</sup> Sang Sae Lao<sup>2</sup>

and Tanong Chayawattana<sup>3</sup>

King Mongkut's University of Technology Thonburi

---

### Abstract

The combustion of biomass (cassava stalk, peanut shell and rice straw) in fluidized-bed furnace was studied in order to examine the effects of air / fuel ratio on the combustion efficiency. The experiment was performed by changing air/fuel ratio at constant fuel feeding rate of 15 kg/hr. Results showed that the combustion efficiency of cassava stalk, peanut shell and rice straw are 99.71%, 99.07% and 97.92% at A/F ratio of 7.25, 6.0 and 7.15, respectively. The over bed temperature is higher than the in-bed, due to high volatile content of biomass fuel. In addition, the emission of CO was in the range of 290-340 ppm while NO<sub>x</sub> was in the range of 120-200 ppm.

---

<sup>1</sup> Associate Professor, Department of Chemical Engineering

<sup>2</sup> Graduate Student, Department of Chemical Engineering

<sup>3</sup> Engineer, Pilot Plant Development and Training Institute

## 1. บทนำ

ในปัจจุบันการพัฒนาแหล่งพลังงานต่างๆ ในประเทศไทยใช้ประโยชน์ กำลังเป็นที่สนใจอย่างกว้างขวาง โดยเฉพาะประเทศไทย เนื่องจากปัญหาทางด้านการขาดแคลนพลังงาน ในขณะที่ประเทศไทยยังมีทรัพยากรต่างๆ ที่ยังไม่สามารถนำมาใช้ให้เกิดประโยชน์อย่างเต็มที่ เช่นชีวมวลที่เหลือจากการเกษตร จึงได้มีการศึกษาในเรื่องการนำทรัพยากรเหล่านี้มาใช้ เช่น โรงกอผ้า โรงงานกระดาษ และโรงสีข้าว ชีวมวลที่นิยมนำมาใช้ได้แก่ กลบ ขี้เลือย และซังข้าวโพด เป็นเชื้อเพลิงสำหรับหม้อไอน้ำ และผลิตกระแสไฟฟ้า แต่ชีวมวลจัดเป็นเชื้อเพลิงคุณภาพดี ดังนั้นต้องมีเดาเพาท์เเหมะสมในการนำไปใช้

### 1.1 เชื้อเพลิงชีวมวล

**เชื้อเพลิงชีวมวลสามารถแยกได้เป็น 4 ประเภท [1] คือ**

1. เชื้อเพลิงที่ได้จากไม้ (forest biomass) เช่น เศษไม้ เปลือกไม้ กิ่งไม้และขี้เลือย
2. เชื้อเพลิงชีวมวลที่ได้จากการเกษตร (agriculture biomass) ส่วนใหญ่เป็นของเหลือทิ้งจากการเกษตร เช่น 甘蔗 ขี้เลือย ซังข้าวโพด เป็นต้น
3. เชื้อเพลิงที่ได้จากอุตสาหกรรม (industrial waste) เช่น ชานอ้อยจากโรงงานน้ำตาล กาลสับปะรดจากโรงงานทำสับปะรดกระป่อง
4. เชื้อเพลิงที่ได้จากการเหลือใช้ของมนุษย์ (domestic waste) เช่น ขยะจากเทศบาล

### 1.2 คักยภาพของชีวมวลในประเทศไทย [2], [3]

**ข้าวโพด** มีพื้นที่เพาะปลูกทุกภาค และมากสุดทางภาคเหนือ พื้นที่เพาะปลูกในปี 2535/36 จำนวน 8.446 ล้านไร่ ผลผลิต 3.672 ล้านตันต่อปี อัตราส่วนข้าวโพดต่อซังข้าวโพดเท่ากับ 1 : 0.25 [3] คิดเป็นพลังงานความร้อน  $0.855 \times 10^{12} \text{ kcal}/\text{ปี}$

**อ้อย** มีพื้นที่เพาะปลูกทางภาคกลาง ภาคตะวันออกเฉียงเหนือและภาคเหนือ ในปี 2535/36 มีพื้นที่เพาะปลูกจำนวน 6.267 ล้านไร่ ผลผลิต 39.827 ล้านตันต่อปี อัตราส่วนอ้อยต่อชานอ้อยเท่ากับ 1 : 0.28 [3] คิดเป็นพลังงาน  $4.578 \times 10^{13} \text{ kcal}/\text{ปี}$

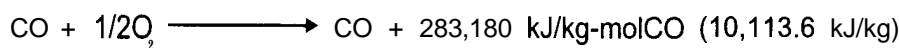
**ปาล์ม** พื้นที่เพาะปลูกเกือบทั้งหมดในภาคใต้ ในปี 2535 มีจำนวน 0.958 ล้านไร่ ผลผลิตที่ได้ 1.352 ล้านตันต่อปี

**มะพร้าว** มีพื้นที่เพาะปลูกทางภาคใต้ ในปี 2535/36 จำนวน 2.427 ล้านไร่ ผลผลิต 1.411 ล้านตันต่อปี อัตราส่วนระหว่างมะพร้าวและกากมะพร้าวเท่ากับ 1 : 0.35 คิดเป็นพลังงานความร้อน  $2.132 \times 10^{12} \text{ kcal}/\text{ปี}$

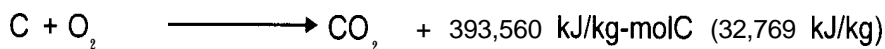
ข้าว	แบบเป็น
ก.	ข้าวนานาปี 2535/36 มีพื้นที่เพาะปลูกทั้งประเทศ 56.295 ล้านไร่ ผลผลิตประมาณ 17.302 ล้านตันต่อปี (เพาะปลูกไม่เต็มที่เนื่องจากภาวะฝนแล้ง)
ข.	ข้าวนำปรัง ในปี 2535/36 มีพื้นที่เพาะปลูก 4.15 ล้านไร่ ผลผลิต 2.615 ล้านตันต่อปี
อัตราส่วนระหว่างข้าวเปลือกต่อฟางข้าวเป็น 1 : 2 คิดเป็นพลังงานความร้อนประมาณ $1.523 \times 10^{14}$ kcal/ปี	
ถัวลิสง	มีพื้นที่เพาะปลูกทางภาคเหนือและภาคตะวันออกเฉียงเหนือ ในปี 2535/36 จำนวน 0.65 ล้านไร่ ผลผลิต 0.137 ล้านตันต่อปี อัตราส่วนระหว่างถัวต่อเปลือกถัวประมาณ 1 : 0.3 คิดเป็นพลังงานความร้อน $1.685 \times 10^{11}$ kcal/ปี

### 1.3 ทฤษฎีการเผาไหม้ [4]

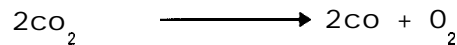
การเผาไหม้เป็นปฏิกิริยาเคมีชนิดหนึ่งซึ่งปลดปล่อยพลังงานความร้อนออกมากพร้อมกับการเปลี่ยนแปลงทางเคมี ซึ่งเป็นการรวมตัวของออกซิเจนเข้ากับคาร์บอน ไฮโดรเจน และชัลเฟอร์เกิดเป็นสารประกอบใหม่ คือ คาร์บอนไดออกไซด์ ไอน้ำ และชัลเฟอร์ไดออกไซด์ ปฏิกิริยาการเผาไหม้ของคาร์บอน ก็คือ



ซึ่งอาจเขียนรวมกันได้เป็น



นอกจากนี้ยังมีปฏิกิริยาปลีกย่อยที่เกิดขึ้นในการเผาไหม้อีกมากเช่น



โดยปกติแล้วจะสมมุติว่าไม่เกิดขึ้นในฟลูอิดไดซ์เบด เพราะอุณหภูมิของปฏิกิริยาการเผาไหม้มีต่ำ และเพื่อความสะดวกในการคำนวณทางด้านการเผาไหม้

การเผาไหม้จะเกิดได้ต้องมีสภาวะเหมาะสม นั่นคือต้องมีอากาศที่เพียงพอ มีอุณหภูมิสูงพอ มีเวลา enough สำหรับปฏิกิริยา และมีการผสมผสานของเชื้อเพลิงกับอากาศที่ดี ในการเผาไหม้ เพื่อที่จะให้เกิดปฏิกิริยาได้สมบูรณ์ จึงต้องเพิ่มปริมาณอากาศขึ้นจนเพียงพอ ซึ่งจะได้อัตราส่วนอากาศต่อเชื้อเพลิงจริงสูงกว่าอัตราส่วนตามทฤษฎี อากาศที่เกินจากที่ต้องการนั้นเรียกว่า อากาศมากเกินพอดำนวนได้จาก

$$\% \text{ excess air} = \frac{(\text{oxygen required for combustion - oxygen required for stoichiometric combustion}) * 100}{\text{oxygen required for stoichiometric combustion}}$$

#### 1.4 เทคนิคทางฟลูอิดไดเซชัน (Fluidization) [4]

ฟลูอิดไดเซชันเป็นปราศจากการณ์ที่ของแข็งขนาดเล็กถูกทำให้อยู่ในสภาพคล้ายของไอล ด้วยการพยุงโดยก๊าซหรือของเหลวที่ไหลผ่านเบดของแข็งขึ้นไปด้านบนด้วยอัตราการไหลค่าหนึ่ง โดยอาจจะมีการถ่ายเทมวลสาร ความร้อน และ/หรือปฏิกิริยาเคมีเกิดขึ้นในขณะที่มีการสัมผัสระหว่างของแข็งกับของไอลนั้น Kunii และ Levenspiel [5] ได้แบ่งเทคนิคทางฟลูอิดไดเซชันออกเป็น 2 ประเภท คือ ฟลูอิดไดเซชันของของเหลว (liquid-solid fluidization) และฟลูอิดไดเซชันของก๊าซ (gas-solid fluidization)

ลักษณะการเกิดฟลูอิดไดซ์เบด [6] มีขั้นตอนดังนี้ คือ ในขณะที่ของไอลไหลผ่านเบดของอนุภาคของแข็งที่มีขนาดเล็กในทิศทางจากด้านล่างสู่ด้านบนด้วยอัตราการไหลค่อนข้างต่ำ เบดจะอยู่ในสภาพนิ่ง (fixed bed) การไหลของของไอลจะก่อให้เกิดแรงดูด (drag force) กระทำบนผิวของอนุภาคของแข็ง และมีทิศทางตามการไหลของของไอล แรงดูดที่เกิดจะพยายามทำให้อนุภาคของแข็งลอยตัวขึ้น แต่แรงโน้มถ่วง (น้ำหนักของอนุภาค) ซึ่งกระทำในทิศทางตรงข้ามมีมากกว่าจึงทำให้เบดอยู่กับที่ เมื่ออัตราการไหลของของไอลที่ผ่านเบดสูงขึ้นจะมีผลให้แรงดูดมีค่าเพิ่มมากขึ้นเรื่อยๆ กระทำถึง ความเร็วค่าหนึ่ง แรงทั้งสองที่กระทำบนอนุภาคของแข็งจะสมดุลกัน ภายใต้ภาระการนื้อนุภาค

ของของแข็งแต่ละตัวมีอิสระในการเคลื่อนที่เนื่องจากของเหลวที่ขับเคลื่อนให้เคลื่อนที่อยู่ในสภาพนี้เรียกว่า ฟลuidized bed (fluidized bed) และที่จุดนี้เรียกว่าจุดต่ำสุดในการฟลuidized (minimum fluidization) การเพิ่มขึ้นของการให้เลวที่สูงกว่าค่าความเร็วต่ำสุดของการฟลuidized โดย ในระบบกําช-ของแข็งมักจะมี พฤติกรรมต่างๆ จากระบบของเหลว-ของแข็งคือพบว่ามีการเกิดฟองอากาศ (bubble fluidization bed) หรือฟลuidized โดยเบดของกําช ซึ่งต่างไปจากระบบฟลuidized โดยเบดของของแข็งกับของเหลว ซึ่งการขยายตัวของชั้นของแข็งจะสม่ำเสมอจึงเรียกว่า ฟลuidized โดยเบดแบบสม่ำเสมอหรือฟลuidized โดยเบด ของของเหลว

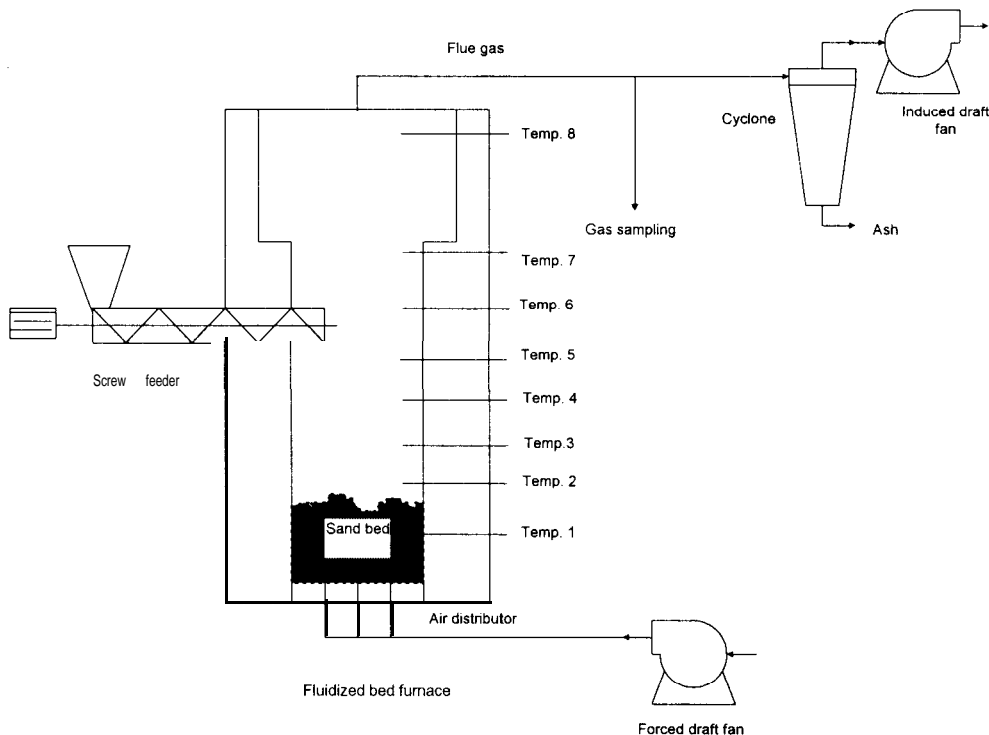
### 1.5 กระบวนการเผาไหม้ชีมวลในเตาฟลuidized โดยเบด มีขั้นตอนดังนี้ [7]

- ก. drying เป็นการกำจัดความชื้นในอนุภาคชีมวลขณะเริ่มต้นรับความร้อนในเตาเผา
- ข. devolatilization เป็นขั้นตอนการสลายตัวของชีมวลเกิดเป็นสารระเหย
- ค. ignition of volatile เป็นขั้นตอนการที่ทำให้เกิดการจุดประกายของสารระเหยที่ถูกปล่อยออกมานอก และอยู่ล้อมรอบอนุภาคชีมวล
- ง. combustion of volatile เป็นขั้นตอนการเผาไหม้สารระเหย ทำให้เกิดเปลวไฟขึ้นรอบอนุภาคชีมวล
- จ. ignition of char particle เป็นขั้นตอนการจุดประกายบนผิวน้ำของถ่านที่เหลือโดยเริ่มจากเป็นจุดเล็กๆ ที่ผิวด้านนอก แล้วค่อยๆ ขยายออกไปจนเกิดทั่วทั้งอนุภาค
- ฉ. combustion of residual char particle เป็นขั้นตอนการเผาไหม้มันอนุภาคถ่านที่เหลือหลังจากที่สารระเหยระเหยออกจากอนุภาคชีมวลบางส่วนหรือหมดแล้ว เมื่อเผาไหม้หมดจะเหลือขี้ถ้า

ระบบการเผาไหม้โดยใช้เตาเผาฟลuidized โดยเบดเป็นเทคนิคหนึ่งที่น่าสนใจ เนื่องจากเผาไหม้เชือเพลิงคุณภาพดีได้ดี ให้ประสิทธิภาพในการเผาไหม้ดี สามารถควบคุมมลพิษได้ง่าย

การเผาไหม้ในเตาฟลuidized โดยเบดเกิดขึ้นโดยเชือเพลิงจะถูกพยุงให้ลอยตัวด้วยกําชหรืออากาศที่เข้าสู่เตาโดยผ่านแผ่นกระายลม เชือเพลิงจะมีสภาพคล้ายของให้ภายในเตาเผาจะมีเบดที่ร้อน เช่น ทราย หรือถ้าที่เกิดจากการเผาไหม้ เพื่อช่วยทำให้เกิดการผสมผสานของเชือเพลิงกับอากาศชิเจนได้ดี และช่วยทำให้ถ้าที่เกากับผิวเชือเพลิงนั้นหลุด ผิวของเชือเพลิงจึงสามารถสัมผัสถกับอากาศชิเจนได้ตลอดเวลาทำให้เกิดการเผาไหม้ที่ดี ซึ่งจะต่างจากการเผาไหม้เชือเพลิงแข็งทั่วไป ซึ่งจะเกิดการเผาไหม้ที่ผิวของเชือเพลิงก่อน จากนั้นบริเวณของการเกิดปฏิกิริยาจะค่อยๆ เคลื่อนเข้าไปข้างใน โดยส่วนที่เหลือที่เกิดจากการเผาไหม้คือ เถ้าซึ่งเป็นสารเนื้อยาทำให้เชือเพลิงมีโอกาสสัมผัสถกับอากาศชิเจนลดลง ดังนั้นเมื่อเวลาผ่านไปอัตราการเผาไหม้จะค่อยๆ ลดลงจนเผาไหม้หมดทั้งก้อน ซึ่งในงานวิจัยนี้จะศึกษาผลของการเผาไหม้ของชีมวล ซึ่งได้แก่ พังข้าว เปลือกถั่วลิสง และกาภัณฑ์ปะหลัง ในเตาเผาฟลuidized โดยเบด

## 2. อุปกรณ์การทดลองและวิธีการทดลอง



รูปที่ 1 เตาเผาใหม่แบบฟลูอิดไดซ์เบด

### ระบบเตาเผาฟลูอิดไดซ์เบด ประกอบด้วย

1. เตาเผาฟลูอิดไดซ์เบด ดังแสดงดังรูปภาพที่ 1 เป็นเตาเผาฟลูอิดไดซ์เบดที่มีขนาดพื้นที่หน้าตัด  $45 \times 45$  ซม. มีเบด ทรายสูง 15 ซม. เหนือท่อกระเจยลม สามารถปรับอัตราการป้อนของเชื้อเพลิง ได้โดยการเปลี่ยนความเร็วรอบของสกรูป้อนเชื้อเพลิง
2. อุปกรณ์วัดอุณหภูมิ ใช้เทอร์โมคับเบลวัดอุณหภูมิในเบดและเหนือเบด
3. อุปกรณ์วัดอัตราการไหล ใช้ Orifice
4. Bomb Calorimeter เป็นอุปกรณ์ที่ใช้ในการหาค่าความร้อนของเชื้อเพลิงชนิดต่างๆ แบบ adiabatic jacket ยี่ห้อ IKA รุ่น C4000
5. เครื่องตรวจก๊าซแบบ Chemical Cell ยี่ห้อ ENERAC Model 2000 E เป็นเครื่องมือที่ใช้ในการตรวจสอบส่วนผสมของก๊าซที่เกิดจากการเผาใหม่ โดยก๊าซที่วิเคราะห์ได้แก่  $O_2$ ,  $CO$ ,  $CO_2$ ,  $NO$ ,  $NO_x$  และ  $SO_2$
6. เตาเผาไฟฟ้า เป็นเตาเผาที่สามารถปรับอุณหภูมิและสามารถตั้งเวลาได้ ยี่ห้อ "LENTON FURNACE" รุ่น UAF 1714 เพื่อใช้วิเคราะห์หาเบอร์เช็นต์สารระเหยและเบอร์เช็นด์ถ้า

## ขั้นตอนการทดลอง

### ตอนที่ 1 หาคุณสมบัติของเบดและเชื้อเพลิง

- ก. หาคุณสมบัติทางกายภาพของเบด
  - หาสัดส่วนช่องว่างของเบด ( $\varepsilon_m$ )
  - หาความหนาแน่นของทรายที่เป็นเบด
- ข. หาคุณสมบัติของเชื้อเพลิง
  - หาค่าความร้อนของเชื้อเพลิง โดยใช้บอร์แคลอริมิเตอร์ชนิดอะเดียบติก
  - ห้องคปรากอบทางเคมีของเชื้อเพลิง
  - วิเคราะห์ห้องคปรากอบของเชื้อเพลิง โดยวิธี PROXIMATE

### ตอนที่ 2 หาความเร็วต่ำสุดในการเกิดฟลูอิดไดซ์

### ตอนที่ 3 การเผาไหม้ชีวนวลดในฟลูอิดไดซ์เบดโดยศึกษาผลของการเปลี่ยนอัตราส่วนอากาศต่อเชื้อเพลิงที่มีต่อการเผาไหม้ชีวนวลด

- ก. ทำการอุ่นเบดซึ่งเป็นอนุภาคของทรายขนาดเกิดฟลูอิดไดซ์ด้วยก๊าซ LPG จนอุณหภูมิของเบด มีค่าประมาณ  $300^{\circ}\text{C}$  จึงค่อยๆ เริ่มป้อนเชื้อเพลิงลงไปในเบด อุณหภูมิเบดจะค่อยๆ สูงขึ้นจนได้อุณหภูมิประมาณ  $700^{\circ}\text{C}$  จึงหยุดการให้ความร้อนด้วยก๊าซ LPG ขณะเดียวกันก็เพิ่มอัตราการป้อนเชื้อเพลิงให้สูงขึ้นจนถึงค่าที่กำหนดไว้
- ข. ปรับอัตราการป้อนของอากาศให้คงที่ค่าหนึ่งที่ต้องการ รอจนเข้าสู่สภาวะคงตัว (steady state) แล้วบันทึกค่าต่างๆ พร้อมเก็บตัวอย่าง ดังนี้
  - อัตราการป้อนอากาศ ต่อ อัตราการป้อนเชื้อเพลิง
  - อุณหภูมิในเบด ที่ดำเนินการต่างๆ
  - ก๊าซไฮโดรเจนที่ออกจากการเผาไหม้ เช่น  $\text{CO}$ ,  $\text{CO}_2$ ,  $\text{O}_2$ ,  $\text{NO}$  และ  $\text{NO}_x$  ที่ออกจากการเผาไหม้ เช่น  $\text{CO}$ ,  $\text{CO}_2$ ,  $\text{O}_2$ ,  $\text{NO}$  และ  $\text{NO}_x$
  - ปริมาณแก๊สที่ออกจากการเผาไหม้ เช่น  $\text{CO}$ ,  $\text{CO}_2$ ,  $\text{O}_2$ ,  $\text{NO}$  และ  $\text{NO}_x$
- ค. ทำการเปลี่ยนอัตราการป้อนอากาศ อีก 5 ค่าโดยไม่เปลี่ยนอัตราการป้อนเชื้อเพลิง
- ง. จากนั้นเปลี่ยนชนิดของเชื้อเพลิง แล้วทำการทดลองใหม่ตั้งแต่ข้อ ก-ค ตามลำดับ พร้อมวัดค่าต่างๆ เช่นเดิม

### ตำแหน่งที่วัดอุณหภูมิต่างๆ เป็นดังนี้

ตำแหน่งที่ 1	วัดอุณหภูมิในเบด	ที่ระยะ	20 เซนติเมตร	เหนือท่อการรายลม
ตำแหน่งที่ 2	วัดอุณหภูมิในเตา	ที่ระยะ	40 เซนติเมตร	เหนือท่อการรายลม
ตำแหน่งที่ 3	วัดอุณหภูมิในเตา	ที่ระยะ	55 เซนติเมตร	เหนือท่อการรายลม
ตำแหน่งที่ 4	วัดอุณหภูมิในเตา	ที่ระยะ	80 เซนติเมตร	เหนือท่อการรายลม
ตำแหน่งที่ 5	วัดอุณหภูมิในเตา	ที่ระยะ	100 เซนติเมตร	เหนือท่อการรายลม
ตำแหน่งที่ 6	วัดอุณหภูมิในเตา	ที่ระยะ	110 เซนติเมตร	เหนือท่อการรายลม
ตำแหน่งที่ 7	วัดอุณหภูมิในเตา	ที่ระยะ	140 เซนติเมตร	เหนือท่อการรายลม
ตำแหน่งที่ 8	วัดอุณหภูมิในเตา	ที่ระยะ	210 เซนติเมตร	เหนือท่อการรายลม

### 3. ผลการทดลองและการวิเคราะห์ผล

#### ผลของการหาคุณสมบัติของเบดที่เป็นทราย

ตารางที่ 1 คุณสมบัติของเบดทรายที่ใช้

ข้อมูล	ผลการทดลอง
เส้นผ่าศูนย์กลางเฉลี่ยของเบดทราย ( $\mu_m$ )	322.75
ความหนาแน่น ( $g/cm^3$ )	2.22
สัดส่วนซ่องว่าง ( $\epsilon_m$ )	0.38
ค่าความกลม ( $\phi_s$ )	0.95

#### ผลการหาคุณสมบัติของเชื้อเพลิง

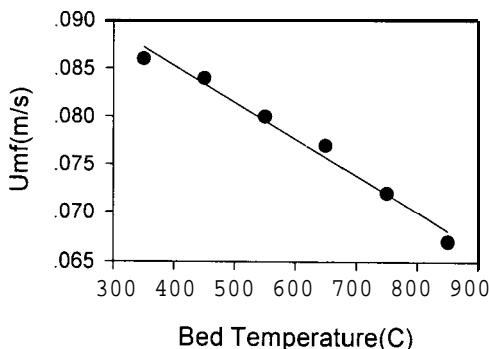
ตารางที่ 2 ผลการวิเคราะห์ด้วย proximate analysis (as received)

คุณลักษณะ	สารชีวนิวลด์		
	ฟางขาว (ยาว 1.82 cm)	เปลือกถั่วลิสง (ซีก)	กา袞มันสำปะหลัง (ก้อน,เม็ด)
ความชื้น (%)	10.10	11.40	12.21
เกร้า (%)	17.64	4.97	3.19
สารระเหย (%)	60.00	73.72	78.55
คาร์บอนองค์ตัว (%)	12.26	9.91	6.05
ค่าความร้อน (db kcal/kg)	3690.25	4438.37	4197.07

ตารางที่ 3 องค์ประกอบของชาตุในสารชีวมวล (ultimate analysis)

ธาตุ	สารชีวมวล		
	ฟางข้าว (ยาว 1.82 cm)	เปลือกถั่วลิสง (ซีก)	กาummันสำปะหลัง (ก้อน,เม็ด)
C	38.38	41.71	39.39
H	6.19	6.23	6.90
N	0.91	1.06	0.33
S	0.92	0.33	0.14
O	25.86	34.30	37.84
Ash	17.64	4.97	3.19

### ผลการหาความเร็วต่ำสุดของการเกิดฟลูอิดไดซ์เบด

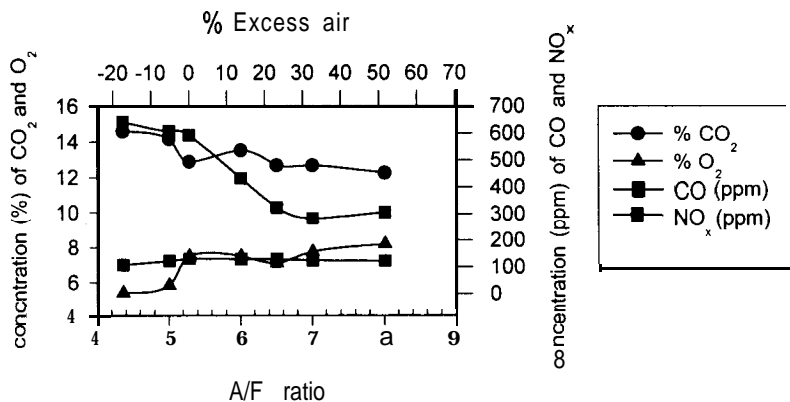


รูปที่ 2 ความสัมพันธ์ระหว่างค่าความเร็วต่ำสุดของการเกิดฟลูอิดไดซ์ (Umf) กับอุณหภูมิเบด

## 4. วิเคราะห์ผลการทดลอง

### 4.1 อิทธิพลของอัตราส่วนอากาศต่อเชื้อเพลิงที่ใช้ในการเผาไหม้ที่มีผลต่อองค์ประกอบของก๊าซเผาไหม้

เมื่อทดลองป้อนเชื้อเพลิงกากมันสำปะหลังที่ 15 กิโลกรัม ต่อชั่วโมง จากผลการทดลองที่แสดงดังรูปที่ 3 พบว่าอัตราส่วนอากาศต่อเชื้อเพลิงมีค่า  $4.36 : 1 - 8 : 1$  มีผลต่อองค์ประกอบของก๊าซที่ออกจากการเผาไหม้ดังนี้



รูปที่ 3 ปริมาณก๊าซต่างๆ ที่เกิดขึ้นจากการเผาไหม้มากกมันสำปะหลัง

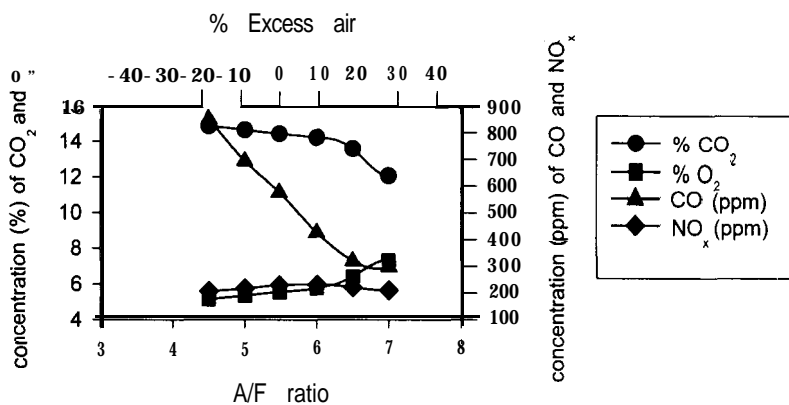
ก๊าซคาร์บอนไดออกไซด์มีแนวโน้มค่อนข้างจะลดลงเล็กน้อยในช่วง 14.59 - 12.24 เปอร์เซ็นต์ โดยปริมาตร เนื่องจากเมื่ออัตราส่วนอากาศต่อเชื้อเพลิงเพิ่มมากขึ้น ปริมาตรก๊าซออกซิเจน และปริมาตร ก๊าซในโทรศัพท์ในไอเสียจะมากขึ้น ในขณะที่ปริมาตรก๊าซคาร์บอนไดออกไซด์ ไม่เปลี่ยนแปลงมากนัก จึงทำให้ % $\text{CO}_2$  ลดลงเล็กน้อย

ก๊าซออกซิเจนจะมีค่าเพิ่มขึ้นตั้งแต่ 5.42-8.19 เปอร์เซ็นต์โดยปริมาตร เนื่องจากการป้อนอากาศ เข้าเตาเผาเพิ่มจนเกินพอตั้งแต่ที่อัตราส่วนอากาศต่อเชื้อเพลิงเท่ากับ 5.28

ก๊าซคาร์บอนมอนอกไซด์ มีแนวโน้มลดลงจนกระทั่งคงที่ที่ประมาณ 300 ppm ทั้งนี้ เพราะเมื่ออัตราการไหลของอากาศมากขึ้น การเผาไหม้จะเกิดสมบูรณ์มากขึ้น ก๊าซคาร์บอนมอนอกไซด์ที่เกิด บริเวณผิวดินของเชื้อเพลิงก็จะทำปฏิกิริยากับออกซิเจนที่เกินพอเกิดเป็นก๊าซคาร์บอนไดออกไซด์แทน ส่วนเหตุผลที่เมื่ออากาศเพิ่มขึ้นแล้วจะถึงค่าคงที่ ที่ความเข้มข้นของก๊าซคาร์บอนมอนอกไซด์ ค่อนข้างจะคงที่แทนที่จะลดลงโดยการทำปฏิกิริยากับออกซิเจนไปเป็นก๊าซคาร์บอนไดออกไซด์ อาจ เป็นเพราะเมื่อความเร็วของอากาศเพิ่มมากขึ้นจนถึงจุดหนึ่ง ซึ่งทำให้ระยะเวลาการทำปฏิกิริยาของ ก๊าซคาร์บอนมอนอกไซด์กับออกซิเจนสั้นลงไม่เพียงที่จะทำให้เกิดปฏิกิริยาได้จนหมด ดังนั้น ก๊าซคาร์บอนมอนอกไซด์จึงเหลืออยู่มากขึ้น (ระยะเวลาสั้นลงมากขึ้น) ในขณะที่อากาศมีมากขึ้น ในอัตราที่ทำให้ความเข้มข้นของปริมาณก๊าซคาร์บอนมอนอกไซด์ต่ออากาศมีค่าค่อนข้างคงที่

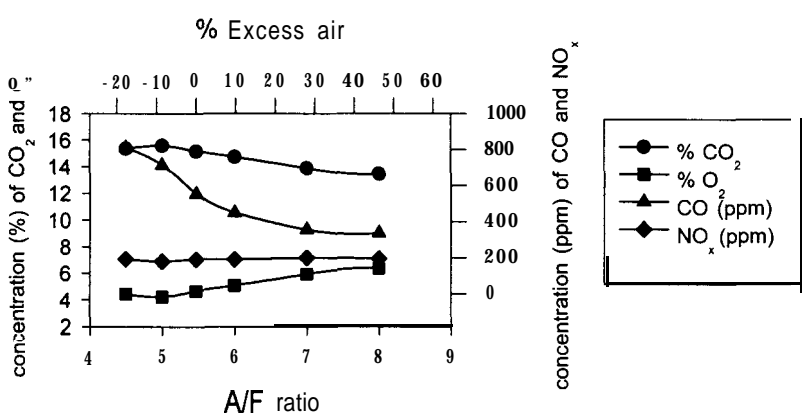
ก๊าซ  $\text{NO}_x$  มีปริมาณน้อยอยู่ในระดับต่ำที่ค่าประมาณ 120 ppm จะเห็นว่ามีค่าอยู่ในระดับต่ำ อันเนื่องจากอุณหภูมิการเผาไหม้ไม่สูงเกินไป (ก๊าซในโทรศัพท์จะทำปฏิกิริยากับออกซิเจนเป็น  $\text{NO}_x$  ได้จะเกิดที่อุณหภูมิสูงมากกว่า  $1000^\circ\text{C}$ )

สำหรับการเผาไหม้ถ้าลิสงผลการทดลองดังแสดงในรูปที่ 4 พบว่าที่อัตราส่วนอากาศต่อเชื้อเพลิงอยู่ในช่วง 4.5-7.0 ปริมาณก๊าซคาร์บอนไดออกไซด์มีแนวโน้มคงที่ถึงลดลงเล็กน้อยในช่วง 14.87-12.09 เปอร์เซ็นต์โดยประมาณ ปริมาณก๊าซออกซิเจนมีแนวโน้มสูงขึ้นดังแต่ 5.14-7.35 เปอร์เซ็นต์โดยประมาณ เหตุผลเช่นเดียวกับผลการศึกษาการเผาไหม้กากมันสำปะหลัง ปริมาณก๊าซคาร์บอนมอนอกไซด์มีแนวโน้มลดลงและคงที่เท่ากับ 290 ppm ปริมาณก๊าซ  $\text{NO}_x$  มีปริมาณต่ำอยู่ในระดับ 200 ppm



รูปที่ 4 ปริมาณก๊าซต่างๆ ที่เกิดขึ้นจากการเผาไหม้เปลือกถั่วลิสง

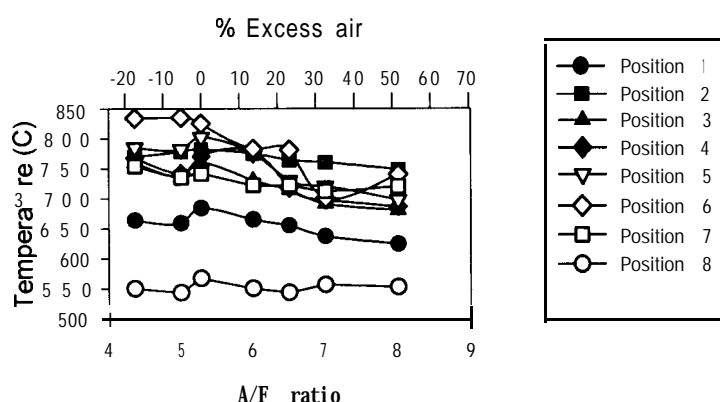
และจากผลการทดลองตามรูปที่ 5 ที่อัตราส่วนการป้อนอากาศต่อเชื้อเพลิง ซึ่งเป็นฟางข้าวอยู่ในช่วง 4.5-8.0% โดยประมาณ ก๊าซคาร์บอนไดออกไซด์มีแนวโน้มลดลงในช่วง 15.36-13.44% โดยประมาณ ปริมาณก๊าซออกซิเจนเพิ่มขึ้นจาก 4.43-6.35% โดยประมาณ สามารถอธิบายเหมือนการเผาไหม้กากมันสำปะหลัง ปริมาณก๊าซคาร์บอนมอนอกไซด์มีแนวโน้มลดลงจนกระหั้นคงที่ที่ 340 ppm ปริมาณก๊าซ  $\text{NO}_x$  มีค่าค่อนข้างคงที่ประมาณ 200 ppm แม้ว่าจะเปลี่ยนอัตราการป้อนอากาศต่อเชื้อเพลิง



รูปที่ 5 ปริมาณก๊าซต่างๆ ที่เกิดขึ้นจากการเผาไหม้ฟางข้าว

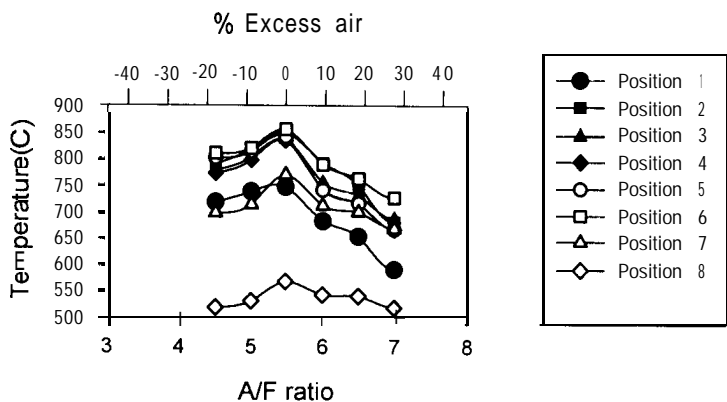
## 4.2 อิทธิพลของอัตราส่วนอากาศต่อเชื้อเพลิงที่ใช้ในการเผาไหม้ที่มีผลต่ออุณหภูมิภายในเตาเผา

จากรูปที่ 6 เมื่ออัตราส่วนอากาศต่อเชื้อเพลิงของกากมันสำปะหลังที่ 5.28 : 1 (ณ จุด stoichiometric) อุณหภูมิภายในเตาขณะนั้นจะสูงที่สุด ทั้งนี้เนื่องมาจากที่ค่านี้ กําซออกซิเจนจะทำปฏิกิริยาเผาไหม้ได้สูงสุด อุณหภูมิภายในเบดจึงสูง แต่เมื่ออัตราส่วนของอากาศต่อเชื้อเพลิงมีค่าเกินจากนี้ไป อุณหภูมิภายในเบดมีแนวโน้มลดลง ทั้งนี้ เนื่องจากความร้อนบางส่วนสูญเสียไปกับอากาศ โดยปริมาณความร้อนที่สูญเสียนี้จะแปรตามปริมาณอากาศที่มากเกินพอด้วย ที่ส่วนที่อัตราส่วนของอากาศต่อเชื้อเพลิงที่ค่าต่ำกว่าจุดนี้ อุณหภูมิจะลดลงโดยจะแปรตามปริมาณอากาศที่ลดลง เนื่องจากเมื่ออากาศลดลงทำให้การเด่นของเบตруนแรงและปันเปวน้อยลง ออกซิเจนจึงทำปฏิกิริยาเผาไหม้กับเชื้อเพลิงได้ช้าลงและออกซิเจนไม่เพียงพอ เมื่อปริมาณอากาศต่ำกว่าที่จุด stoichiometric ในการพิจารณาตำแหน่งต่างๆ ในเตาเผาจะพบว่า ที่ตำแหน่งที่ 5 และ 6 อุณหภูมิสูงที่สุด เนื่องจากเชื้อเพลิงมีปริมาณสารระเหยมากถึง 78% สารระเหยอยู่ในรูปกําชีจังถูกอากาศพาเข้าไปเผาไหม้บริเวณหนึ่งในเบดที่ตำแหน่ง 5 และ 6 ดังนั้น ที่ตำแหน่งนี้จึงมีอุณหภูมิสูงกว่าบริเวณอื่น เพราะองค์ประกอบของสารระเหยในเชื้อเพลิงมีค่าสูงกว่าองค์ประกอบที่อยู่ในรูปของแข็งซึ่งเผาไหม้ม้อยในเบด



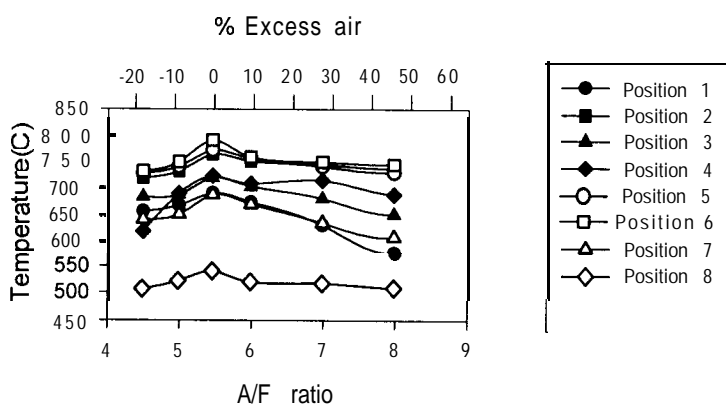
รูปที่ 6 อุณหภูมิที่ตำแหน่งต่างๆ ภายในเตาจากการเผาไหม้กากมันสำปะหลัง

ทำงานของเดียวกันเมื่อเชื้อเพลิงเป็นเปลือกถั่วลิสงผลการทดลองแสดงดังรูปที่ 7 อัตราส่วนการป้อนอากาศต่อเชื้อเพลิงตรงจุด stoichiometric ที่ 5.48 : 1 อุณหภูมิภายในเตาขณะนั้นจะสูงที่สุด อุณหภูมิภายในเบดอยู่ในช่วง 849-720°C



รูปที่ 7 อุณหภูมิที่ต่ำแห่งต่างๆ ภายในเตาจากการเผาใหม้เปลือกถัวลิง

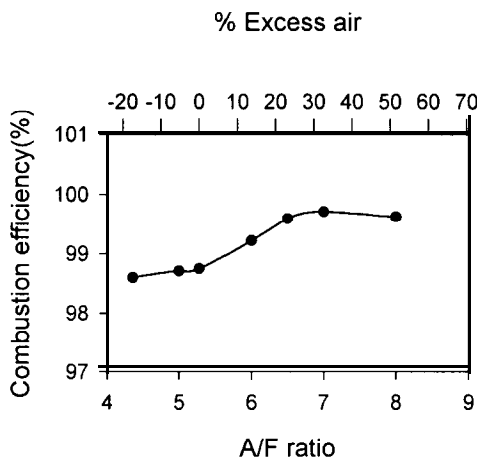
และจากผลการทดลองตามรูปที่ 8 พบว่าที่อัตราการป้อนอากาศต่อเชื้อเพลิงฟางข้าวตาม stoichiometric 5.47 : 1 อุณหภูมิภายในเตาเผาขณะนั้นสูงที่สุดและอุณหภูมิอยู่ในช่วง 764-719°C



รูปที่ 8 อุณหภูมิที่ต่ำแห่งต่างๆ ภายในเตาจากการเผาใหม้ฟางข้าว

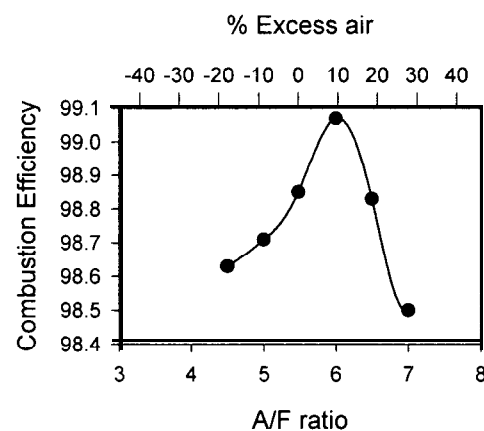
#### 4.3 อิทธิพลของอัตราส่วนอากาศต่อเชื้อเพลิง ที่มีผลต่อประสิทธิภาพการเผาใหม้

จากรูปที่ 9 เมื่ออัตราส่วนอากาศต่อเชื้อเพลิงของกากมันสำปะหลังมีค่าเพิ่มขึ้น ประสิทธิภาพการเผาใหม่จะสูงขึ้น จนถึงค่าอัตราส่วนอากาศต่อเชื้อเพลิงเท่ากับ 7.25 : 1 จะทำให้ประสิทธิภาพสูงสุดเท่ากับ 99.71% ทั้งนี้ เพราะถ้าความเร็วของอากาศเพิ่มมากขึ้นก็จะทำให้เบดถูกกว่าอย่างรุนแรงขึ้น มีการหมุนเวียนสัมผัสกับเชื้อเพลิงดีขึ้น การเผาใหม้ย่อมเกิดได้ดีขึ้น เมื่ออัตราส่วนของอากาศต่อเชื้อเพลิงเกินจากนี้ ค่าประสิทธิภาพการเผาใหม้เกินเท่าเดิม หรือลดลงเล็กน้อย ทั้งนี้อาจเป็นเพราะความเร็วอากาศที่เพิ่มขึ้นจะทำให้อุ่นภาชนะเชื้อเพลิงบางส่วนในเบดหลุดลอยออกไปยังไโคลนก่อนที่จะเผาใหม้สมบูรณ์ จึงทำให้ประสิทธิภาพการเผาใหม้ลดลงนั่นเอง



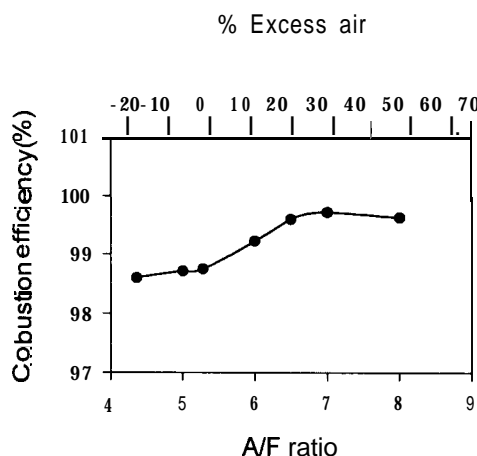
รูปที่ 9 ประสิทธิภาพการเผาไหม้เม้ากากมันสำปะหลัง  
ที่อัตราส่วนอากาศต่อเชื้อเพลิงกากมันสำปะหลังค่าต่างๆ (kg/kg)

จากรูปที่ 10 เมื่ออัตราส่วนการป้อนอากาศต่อเชื้อเพลิงเปลือกถั่วลิสงมีค่าเพิ่มขึ้น ประสิทธิภาพการเผาไหม้จะสูงขึ้นตามจนถึงที่อัตราส่วนอากาศต่อเชื้อเพลิงที่ 6.0:1 จะมีประสิทธิภาพสูงสุดเท่ากับ 99.07% จากนั้นประสิทธิภาพการเผาไหม้ก็จะลดลงเมื่ออัตราส่วนอากาศต่อเชื้อเพลิงเพิ่มสูงขึ้นอย่างรวดเร็ว เนื่องจากความไม่สมดุลของอากาศและเชื้อเพลิง



รูปที่ 10 ประสิทธิภาพการเผาไหม้ของเปลือกถั่влิสง  
ที่อัตราส่วนอากาศต่อเชื้อเพลิงเปลือกถั่влิสงค่าต่างๆ (kg/kg)

และจากรูปที่ 11 เมื่ออัตราการป้อนอากาศต่อเชื้อเพลิงฟางข้าวมีค่าเพิ่มขึ้น ประสิทธิภาพการเผาไหม้จะสูงขึ้น จนถึงอัตราส่วนอากาศต่อเชื้อเพลิงที่เหมาะสม 7.15:1 ทำให้ประสิทธิภาพสูงสุด 97.92% ทั้งนี้เมื่อเปรียบเทียบผลการเผาไหม้ของเชื้อเพลิงกากมันสำปะหลัง เปลือกถั่влิสงและฟางข้าว



รูปที่ 11 ประสิทธิภาพการเผาไหม้ของฟางข้าว  
ที่อัตราส่วนอากาศต่อเชื้อเพลิงฟางข้าวค่าต่างๆ (kg/kg)

จากการทดลองพบว่าประสิทธิภาพของการเผาไหม้สูงสุดของกากมันสำปะหลัง เปเลือกถั่วลิสงและฟางข้าวเท่ากับ 99.71%, 99.07% และ 97.94% ตามลำดับซึ่งจะเห็นได้ว่ากากมันสำปะหลังเผาไหม้ได้ประสิทธิภาพสูงกว่าเบลือกถั่วลิสงและฟางข้าง ทั้งนี้เนื่องจากน้ำหนักจำเพาะของกากมันสำปะหลังมากกว่าน้ำหนักจำเพาะของเบลือกถั่วลิสงและฟางข้าว ตามลำดับ จึงทำให้กากมันสำปะหลังมีเวลาเผาไหม้อยู่ในเบดได้นานกว่าเบลือกถั่วลิสงและฟางข้าวก่อนที่จะถูกพัดพาออกจากเตา ดังนั้นประสิทธิภาพการเผาไหม้จึงสูงกว่า

## 5. สรุปผลการทดลอง

จากการศึกษาสมรรถนะของเตาเผาฟลูอิดไดซ์เบด โดยทดลองเผาชิ้มมวลต่างๆ ในสภาวะที่กำหนด ซึ่งเชื้อเพลิงชิ้มมวลที่นำมาใช้ในงานวิจัยนี้ได้แก่ กากมันสำปะหลังลักษณะเป็นเม็ดเบลือกถั่วลิสงลักษณะเป็นซีก และฟางข้าวดัดเป็นท่อนยาว 1.82 ซม. ผลการวิจัยสามารถสรุปได้ดังนี้

1. อัตราการป้อนอากาศต่อเชื้อเพลิงที่เหมาะสมเพื่อทำให้เกิดการเผาไหม้ได้อย่างสมบูรณ์ของกากมันสำปะหลัง มีค่าเท่ากับ 7.25:1 และประสิทธิภาพการเผาไหม้สูงสุดเท่ากับ 99.71% ที่อุณหภูมิเบดมีค่าเท่ากับ 760°C ชนิดของเชื้อเพลิงเองก็มีผลต่ออุณหภูมิของการเผาไหม้ โดยมีอิทธิพลต่ออัตราการเผาไหม้ และอาจทำให้อัตราส่วนระหว่างอากาศกับเชื้อเพลิงที่ทำให้ประสิทธิภาพการเผาไหม้สูงสุดต่างกันออกไปบ้าง ในกรณีที่เผาเบลือกถั่วลิสงอัตราการป้อนอากาศต่อเชื้อเพลิงที่เหมาะสมมีค่าประมาณ 6.0:1 ประสิทธิภาพการเผาไหม้สูงสุดเท่ากับ 99.07% อุณหภูมิ 780°C และกรณีที่เผาฟางข้าวอัตราการป้อนอากาศต่อเชื้อเพลิงที่เหมาะสมมีค่าประมาณ 7.15:1 ประสิทธิภาพการเผาไหม้ 97.92% อุณหภูมิเบด 740°C

2. ผลกระทบจากการเผาฟลูอิดไดซ์เบด จากการทดลองพบว่าที่อัตราการป้อนอากาศต่อเชื้อเพลิงชนิดต่างๆ นั้น ปริมาณก๊าซพิษ NO<sub>x</sub> ที่ปล่อยออกจากการเผาฟลูอิดไดซ์เบดมีปริมาณต่ำ โดยไม่เกิน 250 ppm ซึ่งเป็นผลจากอุณหภูมิของการเผาไหม้ไม่สูงเกินไปนั่นเอง

## เอกสารอ้างอิง

1. ฐานันดร์ สดแสงสุข, 2537, การศึกษาหม้อไอน้ำฟลูอิดไดซ์เบดขนาดเล็ก วิทยานิพนธ์ระดับปริญญาวิគกรรมศาสตรบัณฑิต ภาควิชาชีวกรรมเคมี คณะวิគกรรมศาสตร์สถาบันเทคโนโลยีพระจอมเกล้าธนบุรี หน้า 18.
2. เนลิมพร อุยุ่ประเทศไทย, 2537, จนศาสตร์ของการไฟโล่รชิสสารชีวมวล วิทยานิพนธ์ระดับปริญญาวิគกรรมศาสตรบัณฑิต ภาควิชาชีวกรรมเคมี คณะวิគกรรมศาสตร์สถาบันเทคโนโลยีพระจอมเกล้าธนบุรี หน้า 1-3.
3. Bhattacharya, S.C. and Ran M. Shrestha, 1990, "Biocoal Technology and Economic," pp. 282-290, 249.
4. เป็ญจวรรณ วนวิชาเยนทร์, 2537, การพัฒนาระบบทาเพาฟลูอิดไดซ์เบด วิทยานิพนธ์ระดับปริญญาวิគกรรมศาสตรบัณฑิต ภาควิชาชีวกรรมเคมี คณะวิគกรรมศาสตร์สถาบันเทคโนโลยีพระจอมเกล้าธนบุรี
5. Kunii, D. and Levenspiel, O., 1969, *Fluidization Engineering*, New York, Jonh Wiley&Sons, pp. 108-137.
6. สมศักดิ์ ดำรงค์เลิศ, 2524, พลูอิดไดซ์เซชัน, สมาคมส่งเสริมเทคโนโลยี (ไทย-ญี่ปุ่น) หน้า 161-189.
7. ณฤทธิ์ มงคลเลิศสิริกุล, 2537, การศึกษาคุณลักษณะเฉพาะของลิกไนต์ในประเทศไทยสำหรับตาเพาฟลูอิดไดซ์เบด วิทยานิพนธ์ระดับปริญญาวิគกรรมศาสตรบัณฑิต ภาควิชาชีวกรรมเคมี คณะวิគกรรมศาสตร์สถาบันเทคโนโลยี พระจอมเกล้าธนบุรี หน้า 5.